

# CHUNK 中的多维数据压缩<sup>\*</sup>)

Compress Multi-Dimensional Data in Chunk

田新锋 李战怀 朱 岩

(西北工业大学计算机系 西安710072)

**Abstract** The data explosion is a problem which must be solved in OLAP on basis of object-relational technology. The Aggregation in multiple relational cubes is an important operation. A compressing method in which the bit-map is used to compress multi-dimensional data in chunk is advanced in this paper to solve the data explosion.

**Keywords** Data cube, MOLAP, ROLAP

在 OLAP 应用中,计算多个相关 cubid 聚集是一个极其重要的操作,包括如何有效计算 CUBE。在文[1]中,为关系操作引入了 CUBE 操作符,丰富了关系语言对多维数据计算的处理能力。已有很多文章对此作了深入讨论,主要分为两类:一是对以关系构造的多维数据进行优化;一是对多维数组构造的多维数据进行优化。由于关系数据库的成熟,及应用范围的广泛,对以关系构造的多维数据(即 ROLAP)进行 CUBE 计算的研究明显多于对多维数组构造的多维数据(即 MOLAP)的 CUBE 计算研究。

数据仓库主要用于决策支持。无论关系数据库还是多维数据库,提高其性能的一个重点就是如何更有效地执行 CUBE 聚集。我们在 ORDBMS 中实现多维数据时,涉及到将度量数据转化为数组,在多维计算及数据存贮转化时都涉及到数组。数组在 CUBE 计算时可大大加快数据计算速度,而稀疏数组又是多维数据的另一个问题。本文首先提出一个在 chunk 中采用位图进行多维数据压缩的方法,然后与 chunk 中的 offset 压缩进行比较。

## 1. 多维数组压缩

由于 MOLAP 牵涉到稀疏数组的问题,所

以为了减小稀疏数组的大小,并方便多维数据的计算,我们首先讨论多维数组的压缩问题。

### 1.1 Chunk 压缩

#### 1.1.1 Chunk 的产生

在 ROLAP 中,多维数据以星型模式表示,多维数据中的每个单元用一个元组表示,一个元组既包含度量数据,又包含各维的标识,其存储以元组或属性为单位进行,而不能直接针对度量对应的数据单元,而且不能一次定位到数据单元。

在 MOLAP 中,数据以数组的形式存储。我们知道,存储器是线性存储,而不是多维方式存储,多维数组的存储最终也必须转化为线性存储,即按不同的维序顺序存储,在读取时,只能按照维序进行,所以计算时也只能按照维序进行,对于数据读取及计算都不是很有效,文[4]给出了有关 chunk 的构造情况。Chunk 以 I/O 块为单位,每个 chunk 都是由数据解析后再组合成的  $n$  维立方体,是原立方体中具有相同维数的一个子立方体。原立方体以 chunk(子立方体)为单位按维序进行线性存储,每个 chunk 再以子立方体的维序存储。每次 I/O 都是原立方体的一块,所以可以不按照次序读取。如一个三维数组  $D_1D_2D_3$ , $D_1, D_2, D_3$  表示数据的三个维,用  $|D_i|$  ( $1 \leq i \leq 3$ ) 表示  $D_i$  维的势。

<sup>\*</sup>) 本文研究得到国家自然科学基金、国家863计划项目资助。田新锋 博士生,主要研究领域为数据库,数据仓库技术。李战怀 教授,主要研究领域为数据库理论与技术,数据仓库技术。朱 岩 讲师,主要研究领域为数据库理论与技术。

$D_1D_2D_3$ 被分解为一系列的子立方体  $d_1d_2d_3$ 。每个子立方体都是一个三维数组,只是每维的势比原立方体的势小,即有:  $\sum |d_i| = |D_i| (1 \leq i \leq 3)$ 。子立方体  $d_1d_2d_3$ 按  $(D_1, D_2, D_3)$ 的顺序存储,子立方体内部按  $(d_1, d_2, d_3)$ 的顺序存储。

每次 I/O 可以读入或写回一个子立方体,每读入一次后可对该子立方体进行计算,因此,这样的 chunk 立方体对于输入、输出及计算都提高了效率。

下面我们给出存取数据单元的方法。

设 offset 是在 chunk 子立方体中该数据项线性化后的位置。如某个 chunk 中具有子立方体  $d_1d_2d_3$ ,当以  $O = (d_1, d_2, d_3)$ 的维序存储时,则子立方体  $d_1d_2d_3$ 的坐标  $(i, j, k)$ 唯一对应子立方体中的一个数据单元,可以将坐标  $(i, j, k)$ 转化为子立方体内部线性存储的位置,即有:

$$offset = i + j \times |d_1| + k \times |d_1| \times |d_2|$$

更一般地,设  $q_i$  是维序中第  $i$  维的坐标,所以对于子立方体中的坐标  $(q_1, q_2, \dots, q_n)$ ,可得 chunk 内偏移量 offset 为:

$$offset = q_1 + \sum_{i=2}^n (q_i \cdot \prod_{j=1}^{i-1} |D_j|) \quad (1)$$

给定原立方体的坐标  $(Q_1, Q_2, \dots, Q_n)$ ,需要经过一些转换才能取得对应的数据单元。可把 chunk 看作原立方体的坐标单位,则可得虚拟坐标  $(V_1, V_2, \dots, V_n)$ ,其中:

$$V_i = \begin{cases} \left\lceil \frac{Q_i}{C_i} \right\rceil + 1 & \text{当 } \left\lceil \frac{Q_i}{C_i} \right\rceil \neq \frac{Q_i}{C_i} \text{ 时} \\ \left\lceil \frac{Q_i}{C_i} \right\rceil & \text{当 } \left\lceil \frac{Q_i}{C_i} \right\rceil = \frac{Q_i}{C_i} \text{ 时} \end{cases} \quad (2)$$

并且,

$$q_i = Q_i \bmod C_i \quad (3)$$

根据虚拟坐标用公式(1)可得出对应数据单元虚拟位置 OFFSET,即数据单元所在 chunk。

$$OFFSET = V_1 + \sum_{i=2}^n \left( V_i \cdot \prod_{j=1}^{i-1} \frac{|D_j|}{V_j} \right) \quad (4)$$

将坐标  $(q_1, q_2, \dots, q_n)$ 代入公式(1),可取出坐标  $(Q_1, Q_2, \dots, Q_n)$ 对应的数据单元  $c$ 。

### 1.1.2 Chunk 的压缩

由于大型数据仓库中用多维方式组织数

据,每个立方体可能具有很多个维,而每一维的域会很大,因此这些维组合在一起以后将迅速膨胀,产生巨大的数据空间。一些维的域中有很多值的组合对于现实世界可能是无意义的,即在与之对应的数据单元中根本就不存在数据。数据膨胀增大了磁盘成本,若再加上 summary 的预计算,数据膨胀会进一步加剧。所以压缩多维数据以减少数据所占用的空间是很必要的。

文[3]中提出了 chunk-offset 的压缩方法,将数组分解后再组合放入一个 chunk 中,chunk 中的数据是小的  $n$  维立方体。每个有值的数据项存入一对  $(offset, data)$ ,offset 即是数据单元在未压缩 chunk 中的位置,无值或值为 0 的数据不存储。这样当计算时,如果 offset 相同则可进行聚集计算,不计算为空的数据单元,从而节约了计算时间。

chunk 算法存在着几个不足:首先是 chunk-offset 的压缩方式引入数组入口点偏移,这种方法虽然压缩掉了为空或 0 的数组单元,但却倍增了不为空或 0 的数组单元大小,因此对一个不太稀疏或很大的数组来说并不理想。

### 1.2 位图压缩

chunk-offset 压缩方式适用于多维数组极端稀疏的情况时比较有效,即稀疏度小于 6% 时。对于稀疏度大于 6% 的多维数组,则效果不佳。我们借用索引中的位图索引采用的方法,将它应用到 chunk 压缩中,以获得好的压缩效果,作为 chunk-offset 压缩方法的弥补。

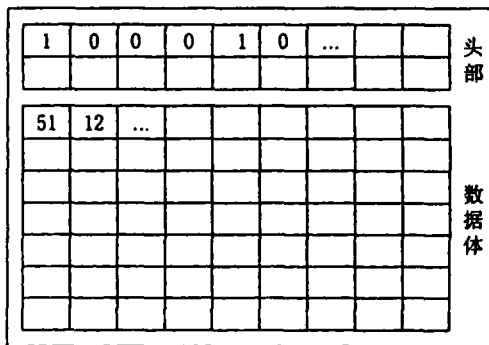


图1 位图压缩

将 chunk 分为两部分:头部和数据体。头

部放置位图数据,用二进制位标识未压缩数组中每个数据单元的状态。二进制位为1表明与该位对应的数据单元存在合法值,为0表明不存在合法值。数据体按先后顺序放置合法数据。

在获取 chunk 中某个位置 offset 的数据单元时,如果头部对应位置的位值为0,则无合法数据。如果头部对应位置的位值为1,则先需要将头部中的从0到 offset 的位图数据累加。由此累加值可以从数据体中直接取得相应单元数据。如图1所示。在头部 offset=0 的位值为1,则其数据单元值在数据体中的位置为  $0 \times \text{SizeOfCell}$ , 即其值为51。在头部偏移为4的位值为1,则数据单元值在数据体中的位置为  $4 \times \text{SizeOfCell}$ , 即其值为12。

这种压缩方式适用于多维数组并不是很稀疏的情况时效果明显。因为给定 chunk 中放置的数据数目,头部的大小就已确定下来,即其大小与数组的稀疏度无关,只与 chunk 中数据单元数有关。

1.3 多维数据对象的改进位图压缩

位图压缩中的头部占用固定大小的长度,在数据稀疏度很小时效果很好。但在数据稀疏度很大时,效果不理想。例如,一个 chunk 对象中只有一个有合法值,而仍需为头部耗费大量的空间。而恰恰是由于头部所占用的空间造成了浪费。为了弥补位图压缩方式的这种不足,我们需要做一些改进。

当数据稀疏度很大时,所有数据单元中很少有合法值。比如64个数据单元中只有一个数据单元具有合法值。这样如果一个 chunk 中有64个数据单元,每个数据单元占用4个字节。则用 chunk-offset 方法压缩后为5个字节(偏移量占用1个字节);用位图压缩后为12个字节。可以看出数据稀疏度很大时位图压缩方式较 chunk-offset 差。

我们可以对位图压缩作一改进。数据稀疏度大时,效果较差的原因出在头部。将头部分为两部分:标志区和头数据区。可以为每8个数据单元设一个标志,将连续的8位用一位来表示,放在标志区。为1则表示相应的8个数据单

元中至少有一个合法值,为0表示相应的8个数据单中没有合法值。如果值为1,则在头部数据区存放一个字节(8位),该字节标记 chunk 中的8个相应数据单元是否有合法值。如图2所示。

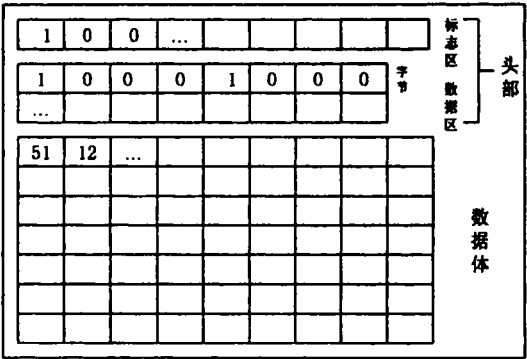


图2 改进位图压缩

在前面所说的那个 chunk 中,用改进位图压缩后为6个字节。只比 chunk-offset 多一个字节。当 chunk 中有两个合法值时,chunk-offset 占用10个字节。而改进位图压缩则需要分为两种情况,当这两个合法值不在同一个连续的8位中时占用11个字节,在同一个连续8位中时占用10个字节。因此效果也随之较位图压缩增强,且不比 chunk-offset 差多少。每个 chunk 中改进位图压缩最多较 chunk-offset 压缩多一个字节(当然,只是在该例中)。但是位图压缩在 CUBE 计算中远优于 chunk-offset,这是因为在 chunk-offset 压缩中,我们根本不知道哪个单元有合法值,而哪个单元没有,必须对整个 chunk 进行扫描,而在位图压缩中头部则可看作是位图索引,在改进位图压缩中的头部可看作二级索引,并且这两种位图压缩中的索引都是位操作,因此有很快的速度。

特别地,当 chunk 中没有合法数据单元时,改进位图压缩占用1个字节,而 chunk-offset 不占用任何字节。当一个 chunk 作为一个对象存在时,长度为0的对象就会出现一定的问题。需要一定的手段加以控制。因此最终也不可以使长度为0。

从 chunk-offset 压缩与位图压缩可以看出,压缩后的 chunk 大小是变化的。其大小取

决于 chunk 中的合法值数。位图压缩中头部长度是固定的,数据区长度是变化的。在改进位图压缩中不但数据区长度是变化的,头部长度也因头部数据区的不确定而变化。

## 2. 压缩方法比较

下面我们对两种压缩方法及无压缩进行比较,以找出对压缩方法的选择尺度,便于在实现时,选择最有效的压缩方法。

设多维数组 A 的体积为 V,压缩后 A 的体积为 T,chunk 大小为 C(即磁盘 I/O 块的大小为 C),数据 A 的稀疏度  $S=T/V$ 。不失一般性,我们假设数据均匀分布。

### 2.1 chunk-offset 与位图压缩的比较

对于多维数组的任一个 chunk,我们分别讨论 chunk-offset 与位图压缩的计算。

在 chunk-offset 压缩中,设每个 offset 占用  $x_0$  个字节,每个数据单元占  $u$  个字节,数据单元数为  $y$  个,有值数据为  $z$  个。则有下面方程:

$$\begin{cases} (x_0+u)z=C \\ 2^{x_0}=y \end{cases} \quad \text{解得:}$$

$$x_0=\frac{\lg y}{8\lg 2}, z=\frac{C\lg 2}{\lg y+8u\lg 2}$$

在位图压缩中,设位图占用  $x_b$  个字节,每个数据单元占  $u$  个字节,数据单元数为  $y$  个,有值数据为  $z$  个。则有下面方程:

$$\begin{cases} x_b+uz=C \\ 8x_b=y \end{cases} \quad \text{解得:}$$

$$x_b=\frac{y}{8}, z=\frac{8C-y}{8u}$$

现在我们可以对这两种压缩方法进行比较。当 chunk 中的数据单元数相等时,chunk-offset 压缩浪费的空间为  $x_0z$  个字节,而位图压缩浪费的空间为  $x_b$  个字节。假设 chunk-offset 优于位图压缩,则有:  $x_0z < x_b$ , 即有  $\frac{z}{y} = S < \frac{\lg 2}{\lg y}$ , 否则当  $S > \frac{\lg 2}{\lg y}$  时,位图压缩优于 chunk-offset 压缩。

从上面的讨论可以看出,是选择 chunk-offset 还是位图压缩是由稀疏度  $S$  与 chunk 中数据单元数共同决定的。

### 2.2 改进位图压缩与位图压缩的比较

在改进位图压缩中,设标志区占用  $x_f$  个字节,头部数据区占用  $x_d$  个字节,每个数据单元占  $u$  个字节,数据单元数为  $y$  个,有值数据为  $z$  个。

当很极端地任两个有值数据都不处在同一个连续8个标志位中,则有下面方程:

$$\begin{cases} x_f+z+uz=c \\ 8 \times 8x_f=y \end{cases}$$

$$\text{解得: } x_f=\frac{y}{64}, z=\frac{c-\frac{y}{64}}{u+1}$$

此处改进位图压缩浪费的空间为:  $x_f+z$ 。

当改进位图压缩优于位图压缩时,则有:

$$x_f+z < x_b,$$

$$\text{即有 } S=\frac{z}{y} < \frac{7}{64}=0.109$$

因此当稀疏度达到0.109时,改进位图优于位图压缩。当然这是在一个很极端情况下的一个临界值。当达到另一个极端:没有非法值时,改进位图压缩较位图压缩多出  $x_f$  个字节。

### 2.3 改进位图压缩与 chunk-offset 的比较

我们也在极端稀疏的情况下讨论。

当 chunk-offset 优于改进位图压缩时,则有:

$$x_0z < x_f+z,$$

$$\text{即有 } S=\frac{z}{y} < \frac{\lg 2}{8\lg y-64\lg 2}$$

因此,改进位图压缩与 chunk-offset 压缩方式的选择依赖于稀疏度  $S$  和数据单元数  $y$ 。

**结束语** 本文提出了在内存中直接对压缩数据进行有效计算的算法。并提出了更高效的 CUBE 算法,该算法用维序及 MMST 保证了最小父亲,用 MMST 分块及相应 CUBE 算法保证了缓冲结果的使用及最少磁盘扫描,而分块与 ROLAP 中的分片技术相似。数组是有序的,从而不需要共享排序。直接对压缩数据的操作也很大地节约了内存的使用。因此,该算法将 ROLAP 中各种优化方法与数组的优点结合在一起,达到较高的性能要求。

这些压缩算法的目的只是为了节约外存空间,避免数据膨胀。如果在计算的同时使用压缩,使整个计算过程中的计算对象都是针对

压缩的 chunk,就可以用很小的内存空间计算很大的 CUBE,但我们需要根据这种需求选择合适的压缩方法。

位图压缩的压缩效果在数据极端稀疏时效果太差,在数据仓库中的数据又恰恰是极其稀疏,所以虽然位图压缩的数据定位及存取速度最快,但是也不是理想的方法。

在 chunk-offset 压缩中,我们根本不知道哪个单元有合法值,而哪个单元没有,必须对整个 chunk 进行扫描。当向上层聚集时,需要对上层的新 chunk 进行多次扫描,因此扫描量极大。虽然 chunk-offset 压缩在数据极其稀疏时稍好于改进位图压缩,但改进位图压缩在存取效率上远远高于 chunk-offset 压缩方式。

#### 参考文献

- 1 Jim Gray, Adam Bosworth, Andrew Layman, Hamid Pirahesh. Data Cube: A Relational Operator Generalizing

Group-By, Cross-Tab and Sub-Totals. In: Proc. of the 12th Int. Conf. on Data Engineering, 1996. 152~159

- 2 Agrawal S, et al. On the Computation of Multidimensional Aggregates. In: VLDB'96. 506~5211
- 3 YiHong Zhao, Prasad M. Deshpande, Jeffrey F. Naughton. An Array-Based Algorithm for Simultaneous Multidimensional Aggregates. In: SIGMOD'97
- 4 Sunita Sarawagi, Michael Stonebraker, Efficient Organization of Large Multidimensional Arrays. In: ICDE'94
- 5 Jianzhong Li, Lawrence Berkeley National Laboratory, Jaideep Srivastava. Aggregation Algorithms for Very Large Compressed Data Warehouses. In: VLDB'99
- 6 Eggers, S, Shoshani A. Efficient Access of Compressed Data. In: VLDB'80
- 7 Sarawagi S, et al. On computing the data cube: [Technical Report]. RJ10026, IBM Almaden Research Center, San Jose, Ca, 1996
- 8 Deshpande P M, et al. Computation of multidimensional aggregates: [Technical Report]. 1314, University of Wisconsin, Madison, 1996
- 9 Ross K A, Srivastava D. Fast Computation of Sparse Datacubes. In: VLDB'97

(上接第222页)

行,从而显著提高了相似检索的效率。

#### 参考文献

- 1 Bentley J L. Multidimensional binary search trees used for associative searching. Communication of ACM, 1975, 18(9): 509~517
- 2 Guttman A. R-tree: A Dynamic index structure for spatial searching. In: Proc. of the ACM SIGMOD International conference on management of data. 1984. 47~54
- 3 White D A, Jain R. Similarity indexing with SS-tree. In: Proc. of the 12th Int. Conf. on Data Engineering. 1996
- 4 Katayama N, Satoh S. The SR-tree: An index structure for high-dimensional nearest neighbor queries. In: Proc. of ACM SIGMOD. 1997
- 5 Chakrabarti K, Mehrotra S. The hybrid tree: An index structure for high-dimensional feature spaces. In: Proc. of the 15th Int. Conf. on Data Engineering. 1999
- 6 Uhlmann J. Satisfying general proximity/similarity queries with metric trees. Information Processing Letters, 1991, 40: 175~179

ters, 1991, 40: 175~179

- 7 Baeza-Yates R, Cunto W, Manber U, Wu S. Proximity matching using fixed-queries trees. In: Proc. of the fifth symposium on Combinatorial Pattern Matching (CNCS807, June). Springer-Verlag, New York, 1994. 198~212
- 8 Brin S. New neighbor search in large metric space. In: Proc. of VLDB'95. Zurich, Sept. 1995. 574~584
- 9 Ciaccia P, Patella M, Zezula P. M-tree: An efficient access method for similarity search in metric space. In: Proc. of VLDB'97. Athens, Greece, Aug. 1997. 426~435
- 10 Andrew P B, Linda G S. A flexible image database system for content-based retrieval. Computer Vision and Image Understanding, 1999, 75(1/2): 175~195
- 11 Szu H H, Hartley R L. Fast Simulated Annealing. Physics Letters A, 1987, 122: 157~162
- 12 Goldberg D E. Genetic Algorithms in Search, Optimization, and Machine Learning. Addison-Wesley, Reading MA. 1989